

2) Погрешность статической настройки ω_c . Определяется значениями $\omega_{yc,pr}$ и ω_{pros} и проявляется в виде несимметричности расположения боковых поверхностей пазов относительно их вертикальных осей.

Значение ω_c может быть минимизировано за счет соответствующей настройки и поднастройки станка.

3) Погрешность динамической настройки ω_d . Большинство составляющих этой погрешности (ω_m , ω_{trip} , $\omega_{ vib}$, ω_{inc} , ω_{temp} , $\omega_{en,napr}$ и ω_{rob}), кроме ω_{def} , практически могут быть сведены к нулевому значению при правильной организации и подготовке технологического процесса.

Составляющие погрешности ω_{def} (ω_1 , ω_2 , ω_3) также практически могут быть сведены к нулевому значению при правильном подборе станочного оборудования. При этом погрешность ω_4 , обусловленная упругой деформацией режущего инструмента, не может быть устранена путём правильного подбора оборудования, настройки станка и др.

Результаты анализа структуры погрешности размеров поперечного сечения профильного паза сведены в табл. 1.

Погрешность вследствие упругих деформаций режущего инструмента ω_4 можно представить в виде

$$\overline{\omega}_4 = \overline{\omega}_4^{rez} + \overline{\omega}_4^{rez, strp}, \quad (7)$$

где $\overline{\omega}_4^{rez}$ – погрешность вследствие упругих деформаций режущего инструмента, вызванных отделением стружки; $\overline{\omega}_4^{rez, strp}$ – погрешность вследствие упругих деформаций режущего инструмента, вызванных повторным взаимодействием зубьев фрезы с отделенной стружкой.

Возникновение погрешности ω_4^{rez} обусловлено соответствующей ориентацией составляющих силы резания на зубьях фрезы. На рис. 2 показано, что векторы вертикальных составляющих сил резания P_v^{rez} параллельны и

направлены в одну сторону. Поэтому эти составляющие в любой текущий момент времени при обработке профильного паза всегда суммируются, вызывая соответствующую деформацию режущего инструмента и погрешность ω_4^{rez} .

Возникновение погрешности $\omega_4^{rez, strp}$ обусловлено повторным взаимодействием режущего инструмента с отделённой стружкой. Для изучения характера этого взаимодействия выполним анализ процесса её накопления и перемещения после отделения.

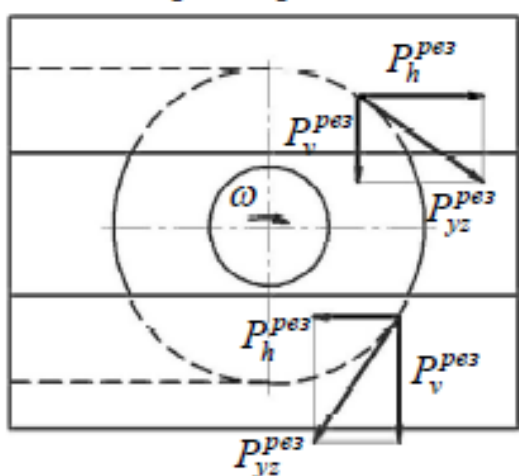


Рис. 2. Составляющие силы резания при фрезеровании профильного паза